

# طراحی و اجرای الگوریتم فوروارد برای سامانه برش نگاری فلورسنت ملکولی در محیط‌های همگن با استفاده از توابع گرین

## چکیده

**مقدمه:** تصویربرداری مولکولی جهت بررسی تغییرات پاتولوژیک در اندازه سلولی و زیرسلولی استفاده می‌شود. این روش بهطور گسترده جهت تشخیص و درمان بیماری‌های پوستی و عروقی به کار می‌رود. یکی از انواع تصویربرداری‌های ملکولی، روش برش نگاری فلورسنت ملکولی است که در آن ماده فلورسنت در محل ضایعه تزریق می‌شود سپس نمونه تحت تابش پرتوی لیزر قرار می‌گیرد و بافت هدف مبادرت به تابش پرتوی فلورسنت می‌نماید. شدت رسیده به سطح بافت با چرخش ۳۶۰ دوربین سی سی دی حول محور مرکزی نمونه ثبت می‌شود. هدف اصلی تصویربرداری نوری تعیین مکان تجمع ماده فلورسنت در بافت هدف برحسب شدت فلورسنت رسیده به سطح نمونه است. به همین منظور ابتدا شدت رسیده به سطح بافت توسط فرمول‌های ریاضی تحت عنوان مرحله فوروارد محاسبه می‌گردد. بنابراین هدف این مقاله نوشتمن الگوریتم مرحله فوروارد برای روش برش نگاری فلورسنت ملکولی است.

**روش بررسی:** در این مطالعه چیدمان برش نگاری نوری جدید در هندسه استوانه‌ای طراحی و اجرا گردید. فانتوم معادل بافت ساخته شد و تحت تصویربرداری قرار گرفت تا شدت فلورسنت رسیده به سطح نمونه ثبت گردد. این شدت به عنوان داده مرجع محسوب شد. در مرحله بعد، الگوریتم فوروارد براساس تقریب دیفیوژن در محیط متلب نوشته شد. برای تعیین صحت عملکرد الگوریتم، نسبت سیگنال به نویز آن با نسبت سیگنال به نویز تصاویر تهیه شده مقایسه گردید. به علاوه شدت‌های مذکور از لحاظ همبستگی نیز مورد مقایسه قرار گرفتند.

**یافته‌ها:** نتایج به دست آمده نشان دادند که نسبت سیگنال به نویز الگوریتم نوشته شده با نسبت سیگنال به نویز تصاویر به دست آمده اختلاف معنی‌داری نداشتند. همچنین همبستگی الگوریتم نوشته شده با روش مرجع بیش از ۹۵٪ بود.

**بحث و نتیجه‌گیری:** در این مقاله الگوریتم فوروارد برای حل معادله دیفیوژن سه‌بعدی در محیط همگن استوانه‌ای نوشته شد. این الگوریتم با درجه همبستگی بیش از ۹۵ درصد به عنوان روش مناسب جهت تعیین محل ضایعه در بافت‌های نرم می‌تواند مورد استفاده قرار گیرد.

**واژه‌های کلیدی:** مسئله Forward، تقریب دیفیوژن، توابع گرین، تقریب کیرهف، تقریب بورن

تکم جهانفر<sup>۱\*</sup>

صادیقه مرجانه حجازی<sup>۲\*</sup>

امیر همایون جعفری<sup>۳</sup>

هانیه محمد رضا<sup>۴</sup>

کارشناسی ارشد، گروه فیزیک پزشکی و مهندسی پزشکی، دانشکده علوم پزشکی تهران، تهران، ایران  
دانشکده پزشکی، دانشگاه علوم پزشکی تهران، تهران، ایران  
دانشیار، گروه فیزیک پزشکی و مهندسی پزشکی، دانشکده پزشکی، دانشگاه علوم پزشکی تهران، تهران، ایران  
آمرکز تحقیقات تصویربرداری سلولی و مولکولی، بیمارستان امام خمینی(ره)، تهران، ایران

استادیار، گروه فیزیک پزشکی و مهندسی پزشکی، دانشکده پزشکی، دانشگاه علوم پزشکی تهران، تهران، ایران

نویسنده مسئول: صادیقه مرجانه حجازی، تلفن ۰۲۶۶۵۸۱۵۰۵  
پست الکترونیک: mhejazi@sina.tums.ac.ir

## مقدمه

برش نگاری فلورسنت مولکولی به عنوان یک روش غیر تهاجمی برای مشاهده فرآیندها در اندازه سلولی و زیرسلولی به کار می‌رود. این روش بهطور گسترده‌ای در تصویربرداری از حیوانات کوچک، تصویربرداری از گره‌های لنفاوی در حین جراحی، تشخیص بیماری‌های پوستی، بررسی عملکرد داخلی ارگان‌های مانند بافت پستان، مغز و شناخت توالی ژنی مورد استفاده قرار می‌گیرد [۱، ۲]. در روش برش نگاری فلورسنت مولکولی (FMT)، بافت

توسط نانوذرات فلورسنت نشان دار می‌شود سپس نمونه تحت آزمایش توسط لیزر درخشناد می‌شود، فلورسنت تحریک و شروع به تابش می‌کند. شدت پرتوی فلورسنت رسیده به سطح بافت با چرخش ۳۶۰ درجه آشکارساز حول محور مرکزی نمونه ثبت می‌گردد. مکان دقیق تجمع ماده فلورسنت در داخل بافت هدف توسط شدت فلورسنت رسیده به سطح بافت تعیین می‌گردد. تعیین توزیع مکانی فلورسنت داخل ماده در دو مرحله فوروارد و مسئله معکوس انجام می‌شود. در مرحله فوروارد، نحوه توزیع

در محاسبه نهایی، داتا<sup>۴</sup> و همکاران وی در سال ۲۰۰۸ از تقریب بورن استفاده کردند [۱۲ و ۱۳]. با مطالعات انجام شده تاکنون روش تحلیلی با استفاده از تقریب کیرشهف و تقریب بورن برای سامانه برش نگاری فلورسنت ملکولی با هندسه استوانه ای مورد استفاده قرار نگرفته است.

بنابراین هدف این مقاله نوشتمن مدل فوروارد برای سامانه برش نگاری فلورسنت ملکولی در محیط های همگن با استفاده از توابع گرین است. قابل ذکر است که این سامانه تصویربرداری با هندسه استوانه برای اولین بار در سطح کشور ساخته و طراحی شده است. به همین منظور در این مطالعه الگوریتمی برای حل مسئله فوروارد براساس استفاده از تقریب بورن در یک سیستم تصویربرداری FMT جدید در محیط متلب<sup>۵</sup> نوشته شد تا شدت فلورسنت بر روی سطح فانتوم معادل بافت به دست آید سپس الگوریتم نوشته شده با روش تجربی به عنوان روش مرجع مقایسه شد. نتایج آماری نشانگر دقیق بالای مدل نوشته شده است.

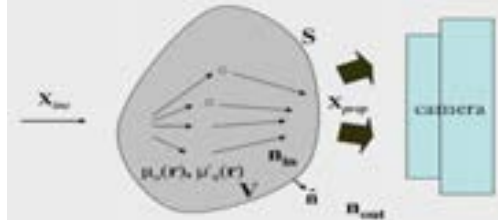
### روش بررسی

سیستم تصویربرداری فلورسنت مولکولی برای اولین بار در ایران طراحی و ساخته شده است و برای حل مسئله فوروارد در این سیستم الگوریتمی برای مدل سازی انتقال پرتوی داخل بافت در محیط متلب نوشته شد.

#### ۰ هندسه تعریف شده

سامانه تصویربرداری طراحی شده شامل سه لیزر با طول موج بین ۴۹۷ - ۸۱۰ نانومتر (DPSS, USA)، دوربین EMCCD (Andor, England) بسیار حساس است (شکل ۲). در این سیستم نمونه بر روی تختی قرار دارد که در مرکز دستگاه قرار می گیرد و چیزی اپتیکی سامانه حول این محور دوران می کند. تصویربرداری در آزمایشگاه گروه اپتیک و لیزر مرکز تحقیقات علوم و تکنولوژی در پزشکی بیمارستان امام خمینی تهران انجام شد.

شدت پرتویک منبع فلورسنت در سطح نمونه محاسبه می گردد. نتایج به دست آمده از این مرحله برای مرحله معکوس استفاده می شود و مکان و عمق ماده فلورسنت داخل نمونه محاسبه می گردد.



شکل ۱: ماده همگن با ضریب انعکاس  $n_{in}$  که توسط محیط غیر پراکنده با ضریب انعکاس  $n_{out}$  احاطه شده است. نور تحریکی و نشري به صورت  $X_{inc}$  و  $X_{prop}$  نمایش داده شده است.

نحوه انتشار پرتوی نوری از معادله انتقال تابش (RTE) به دست می آید و برای یک ماده با پراکندگی زیاد، مدل سازی انتشار پرتو با استفاده از معادله دیفیوژن بسیار موفقیت آمیز است [۱]. این معادله با روش های مختلف از جمله روش تحلیلی براساس توابع گرین، روش عددی براساس روش المان محدود یا روش تفاوت محدود قابل حل است [۴]. روش تحلیلی برای تصویربرداری از محیط های همگن از سرعت اجرا و دقیق خوبی برخوردار است [۵ و ۶]. در این صورت برای حل مسئله فوروارد<sup>۱</sup> از توابع گرین استفاده می شود [۷-۹]. منظور از تابع گرین پاسخی است که بافت در مقابل انتشار پرتوی داخل آن از خود نشان می دهد. فابریزیو<sup>۲</sup> و گروه تحقیقاتی اش نحوه انتشار فوتون در یک سیستم دو و سه لایه ای را با استفاده از توابع گرین مدل سازی کردند. نتایج به دست آمده با مدل سازی مونت کارلو به عنوان روش مرجع کاملاً همخوانی داشت [۱۰]. در سال های اخیر تحقیقات گستره ای به منظور تسهیل و تسريع در مدل سازی تحلیلی توسط ریپول<sup>۳</sup> و همکاران وی با استفاده از تقریب کیرشهف صورت گرفته است [۱۱]. در نتایج این مقالات نشان داده شده است که کاربرد تقریب کیرشهف برای هندسه های ساده مانند استوانه از دقیق کافی برخوردار است. بدین ترتیب با توجه به مطالعات انجام شده استفاده از تقریب کیرشهف در حل مسئله فوروارد بسیار مؤثر است.

قابل ذکر است که شدت رسیده به سطح بافت توسط آشکارساز دریافت می شود. این شدت به عواملی چون بهره پرتوی فلورسنت، بهره آشکارساز و سایر عوامل بستگی دارد. برای حذف این عوامل

<sup>4</sup>Dutta

<sup>5</sup>Matlab

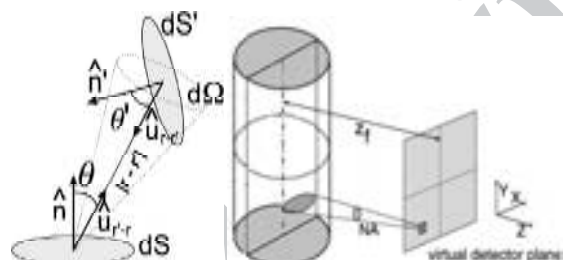
<sup>6</sup>Diode Pomp Solid State

<sup>2</sup>Fabrizio

<sup>3</sup>Ripoll

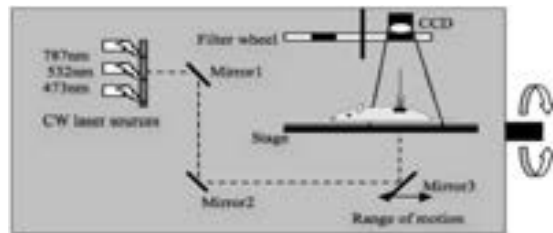
### • الگوریتم فوروارد

الگوریتم فوروارد براساس اندازه‌گیری میزان شدت پرتو(U) در هر نقطه داخل ماده است. درابتدا، حل معادله برای یک محیط همگن نامحدود فاقد مرز با محیط مجاور با استفاده ازتابع گرین نوشته شد [۱۶]. ابتدا تابع گرین تعیین شد تا توزیع مکانی شدت در هر نقطه داخل ماده همگن به دست آید [۱۷ و ۱۸]. استفاده از تئوری گرین در این مرحله باعث شد که مسئله از حالت سه‌بعدی به دو بعدی تبدیل و مسئله بسیار ساده‌تر شود [۱۹ و ۲۰]. ولی در حالت واقعی جسم دارای مرزی است که آن را از محیط دوم جدا می‌کند و برای مدل‌سازی صحیح باید اثر این سطح جداگانه بر انتشار نور لحاظ شود. اثر سطح براساس روش مرتبه N انعکاس از سطح انجام شد [۲۱]. با استفاده از این روش و با توجه به پراکندگی و جذب پرتو در بافت تا دو مرحله انعکاس از سطح درنظر گرفته شد و متوسط شدت در یک ماده همگن محدود به دست آمد [۲۲]. برای ثبت شدت رسیده به سطح، آشکارساز برروی نمونه تحت مطالعه، کانونی می‌شود و گویی سطح آشکارساز بهصورت صفحه مجازی مماس بر سطح نمونه است و پرتوی فضای آزاد بین نمونه و این صفحه مجازی را طی می‌کند و ثبت می‌شود. با توجه به زاویه سطح نمونه با سطح مجازی آشکارساز، خصوصیات آشکارساز و فاصله آن‌ها مدل‌سازی انتشار پرتو تا آشکارساز انجام شد.



شکل ۴: انتشار نور در فضای آزاد. dS المان سطح نمونه، dS' المان سطح آشکارساز، n و n' بُردار عمود بر سطح نمونه و آشکارساز

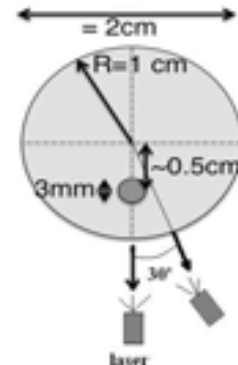
در اندازه‌گیری‌های توموگرافی، شدت‌های فلورسنت و پرتوی لیزر تحریکی بهطور جداگانه محاسبه شد سپس از هر دو مقدار برای بدست آوردن مقدار نرمالیزشده بورن استفاده شد [۲۳]. استفاده از این تقریب وابستگی مرحله بازسازی را به ناهمنگی زمینه و همچنین وابستگی مکانی را بهطور چشمگیری کاهش داد. برای داشتن مدل توموگرافیک منبع فلورسنت، مدل‌سازی از نمونه در هر ۳۰ درجه حول آن انجام شد.



شکل ۲: تصویر شماتیکی از سیستم تصویربرداری توموگرافی فلورسنت مولکولی

مادة فلورسنت (فلورسنت با پیک تابشی ۶۶۰ نانومتر) به نمونه تحت مطالعه تزریق می‌شود و نمونه ببروی یک صفحه شیشه‌ای بهصورت افقی گذاشته می‌شود و توسط منبع لیزر با طول موج مناسب تحت تابش قرار می‌گیرد. لیزر باعث تحریک فلورسنت موجود در نمونه می‌شود و فلورسنت شروع به تابش می‌کند. پرتوی فلورسنت انتشاریافته پس از عبور از فیلتر مناسب که پرتوی لیزر را حذف می‌کند توسط دوربین CCD ثبت می‌شود. CCD قابلیت چرخش ۳۶۰ درجه حول نمونه و تصویربرداری غیر تماسی از نمونه را دارد [۱۴]. با توجه به هندسه دستگاه، هندسه استوانه‌ای برای الگوریتم تعریف شد. نمونه، استوانه‌ای به اعاد ۵ و به قطر ۲ سانتی‌متر تعیین شد. هندسه، هندسه ترین هندسه مشابه موش است. ضریب جذب  $11 \text{ cm}^{-1}$  و ضریب پراکندگی  $8 \text{ cm}^{-1}$  (که این ضرایب معادل با خصوصیات نوری بافت پستان هستند) در محاسبات درنظر گرفته شد [۱۵].

مادة فلورسنت بهصورت استوانه‌ای بهقطر ۳ میلی‌متر بهطور موازی با محور اصلی نمونه و در فاصله  $0.5 / 5$  سانتی‌متری از مرکز استوانه تعریف شد. هندسه مورد نظر در شکل ۳ نشان داده شده است.



شکل ۳: هندسه نمونه در مختصات استوانه‌ای سامانه تصویربرداری تعیین شده است.

پس از طراحی سامانه مبادرت به نوشتن الگوریتم فوروارد شد.

جدول ۱: ارزیابی کمی الگوریتم نوشته شده برای شدت سطحی نسبت به درجه چرخش

میانگین شدت های نرمالیز شده به مقدار بیشینه	(PSNR دسی بل)	زاویه
۰/۰۲۱	۵۰/۹۸۷۰	۰
۰/۰۳۳	۵۲/۰۴۳۹	۳۰
۰/۰۴۵	۵۲/۷۸۱۷	۶۰
۰/۰۵۷	۵۵/۱۴۶۸	۹۰
۰/۰۷۳	۵۸/۴۹۶۴	۱۲۰
۰/۰۹۶	۶۱/۱۷۸۸	۱۵۰
۰/۰۹۰	۶۳/۳۴۴۹	۱۸۰
۰/۰۹۴	۶۱/۱۷۸۸	۲۱۰
۰/۰۷۲	۵۸/۴۹۶۴	۲۴۰
۰/۰۵۵	۵۵/۱۴۶۸	۲۷۰
۰/۰۴۷	۵۲/۷۸۱۷	۳۰۰
۰/۰۳۳	۵۲/۰۴۳۹	۳۳۰

همچنین از نتایج به دست آمده از الگوریتم نوشته شده و نتایج Mean Error حاصل از روش عددی در ROI یکسان برای هر دو روش عددی در گرفته شد. نتایج مقایسه مدل سازی انجام شده با روش عددی در هر ۳۰ درجه در جدول زیر آورده شده است.

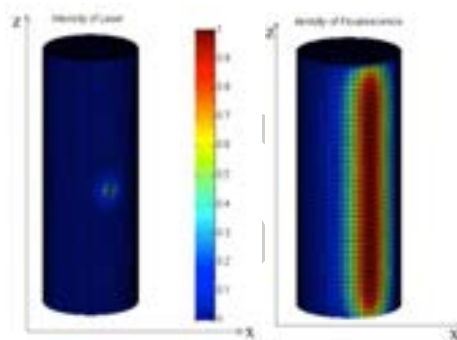
جدول ۲: ارزیابی کمی الگوریتم نوشته شده برای شدت در هر ۳۰ درجه

آزمون همبستگی با نتایج الگوریتم	( $<1$ ) RMSE	زاویه اشکار ساز با محور $z$
۰/۹۱۴۳	۰/۱۱۶	۰
۰/۹۱۶۰	۰/۱۰۵	۳۰
۰/۹۱۷۲	۰/۹۸	۶۰
۰/۹۲۹۳	۰/۱۰۵	۹۰
۰/۹۳۰۸	۰/۱۱۳	۱۲۰
۰/۹۳۴۰	۰/۱۱۲	۱۵۰
۰/۹۴۰۷	۰/۱۲۰	۱۸۰
۰/۹۳۴۰	۰/۱۱۲	۲۱۰
۰/۹۳۰۸	۰/۱۰۳	۲۴۰
۰/۹۲۹۳	۰/۱۰۵	۲۷۰
۰/۹۱۷۲	۰/۹۸	۳۰۰
۰/۹۱۶۰	۰/۱۰۵	۳۳۰

نتایج به دست آمده از شدت در سطح نمونه و میزان PSNR به صورت تحلیلی با نتایج به دست آمده از روش عددی با استفاده از آزمون T-test و آزمون همبستگی مورد ارزیابی آماری قرار گرفت. میزان PSNR ب دست آمده از سطح نمونه که به صورت تحلیلی محاسبه شده بود و نتیجه مشابهی که از روش عددی

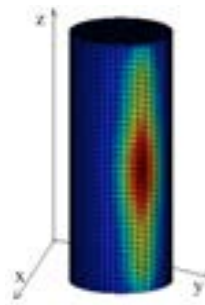
## یافته ها

مدل سازی انتشار پرتوی نور در داخل بافت با استفاده از معادله انتقال تابش انجام شد. مدل سازی برای دو پرتوی لیزر و فلورسنت با توجه به موقعیت آنها در هر ۳۰ درجه به طور مجزا محاسبه گردید. شکل ۵ نتیجه بدست آمده از شدت نرمالیز شده فلورسنت و لیزر رسیده به سطح نمونه در موقعیت ۱۸۰ درجه است.



شکل ۵: شدت نرمالیز شده لیزر و فلورسنت رسیده به سطح

همان طور که در شکل ۵ مشاهده می شود مقادیر شدت فلورسنت در قسمت های میانی استوانه همگن و در لبه ها کاهش می یابد. این امر به این دلیل است که برای استوانه دو سطح دایره ای شکل دوطرف در محاسبات لحاظ نمی شوند. پس از محاسبه شدت ها، تقریب بورن اعمال شد و نتیجه بدست آمده در شکل ۵ نشان داده شده است.



شکل ۶: شدت رسیده به سطح پس از اعمال تقریب بورن

شکل ۶ مدل سازی شدت به دست آمده با استفاده از تقریب بورن روی سطح نمونه است. مشاهده شد که پس از اعمال تقریب بورن نسبت به حالتی که از این تقریب استفاده نشده بود، میزان PSNR سه برابر افزایش یافت. همچنین نتایج به صورت مقادیر RMSE و شدت نرمالیز شده زیر منحنی شدت مدل سازی شده در جدول زیر در هر ۳۰ درجه آورده شده است.

این روند افزایشی شدت بر حسب افزایش فاصله منبع و آشکارساز در مطالعه انجام شده توسط ساپرت [۲۳] مشاهده شد. شدت رسیده به سطح با روش عددی مقایسه شد و در مقادیر PSNR این دو گروه اختلاف معنی داری مشاهده نشد( $P.value=0.164$ ). همچنین سطح زیر منحنی شدت رسیده به سطح نمونه در دو گروه مورد بررسی آماری قرار گرفت و اختلاف معنی داری بین دو گروه مشاهده نشد( $P.value=0.116$ ). می توان نتیجه گرفت که در هندسه های ساده مثل استوانه همگن مورد بررسی در این مطالعه نتایج حاصل از روش عددی و تحلیلی یکسان است و استفاده از روش تحلیلی بدلیل زمان محاسباتی کمتر به صرفه تر است. همچنین در بررسی همبستگی بین نتایج دو گروه، همبستگی بیشتر از  $0.92$  مشاهده شد. همبستگی بین نتایج تحلیلی حاصل از الگوریتم و روش عددی، نتایج دوتا و همکاران وی [۱۲] را در حل مسئله فوروارد با همبستگی  $0.92$  تأیید کرد. با توجه به خطای میانگین  $1$  درصد به دست آمده در مدل سازی پرتوی فلورسنت و لیزر، این مقدار مشابه میانگین خطای  $5$  درصد است که ریپول و همکاران [۱۱] ادر مدل سازی تنها پرتوی لیزر مشاهده کردند. می توان نتیجه گرفت الگوریتم نوشته شده در این مطالعه به خوبی مدل سازی انتقال پرتو را در ماده انجام می دهد. پیشنهاد می شود با توجه به زمان محاسباتی کمتر روش تحلیلی نسبت به روش عددی برای انجام مرحله فوروارد در هندسه های ساده مثل استوانه ای مورد بررسی در این مطالعه، روش تحلیلی انتخاب مناسب تری است. همچنین می توان از الگوریتم نوشته شده برای مرحله بازسازی نقشه تمرکز فلورسنت داخل ماده استفاده کرد.

## References

- Ntziachristos V. Fluorescence molecular imaging. *Annu. Rev. Biomed. Eng.* 2006; 8: 1-33.
- Paulsen KD, Jiang H. Spatially varying optical property reconstruction using a finite element diffusion equation approximation. *Medical Physics* 1995; 22: 691.
- Stuker F. Hybrid imaging: combining fluorescence molecular tomography with magnetic resonance imaging. *Diss., Eidgenössische Technische Hochschule DISS. ETH NO. 19664*, 2011.
- Schweiger M, Arridge S. The finite-element method for the propagation of light in scattering media: frequency domain case. *Medical Physics* 1997; 24: 895.
- Culver JP, Siegel AM, Stott JJ, Boas DA. Volumetric diffuse optical tomography of brain activity. *Optics letters* 2003; 28(21): 2061-3.
- Contag CH, Bachmann MH. Advances in *invivo* bioluminescence imaging of gene expression. *Annual Review of Biomedical Engineering* 2002; 4 (1): 235-60.

به دست آمد، اختلاف معنی داری مشاهده نشد( $P.value=0.164$ ). همچنین سطح زیر منحنی شدت رسیده به سطح نمونه در دو گروه مورد بررسی آماری قرار گرفت و اختلاف معنی داری بین دو گروه مشاهده نشد( $P.value=0.116$ ). با استفاده از آزمون همبستگی بین نتایج حاصل از روش عددی و تحلیلی این نتایج در همه زوایا همبستگی بالاتر از  $0.914$  داشتند.

## بحث و نتیجه گیری

در این مطالعه به مدل سازی انتقال پرتو در داخل بافت پرداخته شد و الگوریتمی براساس حل معادله دیفیوژن در محیط مطلب نوشته و اجرا شد. این الگوریتم بر مبنای استفاده از توابع گرین بود و از تقریب بورن برای افزایش SNR و سادگی در PSNR محاسبات استفاده گردید و از نتایج به دست آمده گرفته شد. مقادیر PSNR از  $0$  تا  $180$  روند افزایشی داشت و سپس این مقادیر تا  $330$  کاهش می یافتد. دلیل این روند این است که به دلیل خارج از مرکز قرار داشتن ماده فلورسنت مورد بررسی (در فاصله  $0.5$  سانتی متری از محور نمونه استوانه ای) در  $180$  درجه موقعیت مکانی منبع فلورسنت نزدیک ترین فاصله را به سطح داشت و در نتیجه بیشترین سیگنال در سطح دریافت می شد.

در مقادیر شدت های میانگین نرم افزار شده به مقدار بیشینه برای مقادیر سطحی از  $0$  تا  $180$  افزایش و سپس تا  $330$  مقادیر کاهش یافتد. این روند به این دلیل است که در زاویه  $0$  درجه لیزر و ماده فلورسنت به یکدیگر نزدیک هستند و توزیع شدت برای آن ها بر روی سطح مشابه می باشد و با نرم افزار شدت فلورسنت به لیزر، شدت میانگین کاهش می یابد. در  $180$  درجه که فاصله لیزر و فلورسنت به ماکریم مقدار می رسد، با نرم افزار شدت فلورسنت به لیزر، مقدار میانگین به بیشینه مقدار خود می رسد.

7. Liemert A, Kienle A. Light diffusion in a turbid cylinder. II. Layered case. *Optics Express* 2010; 18 (9): 9266-79.
8. Li A, Zhang Q, Culver JP, Miller EL, Boas DA. Reconstructing chromosphere concentration images directly by continuous-wave diffuse optical tomography. *Optics letters* 2004; 29 (3): 256-8.
9. Kienle A, Patterson MS. Improved solutions of the steady-state and the time-resolved diffusion equations for reflectance from a semi-infinite turbid medium. *JOSA A* 1997; 14(1): 246-54.
10. Boas D, O'leary M, Chance B, Yodh A. Scattering of diffuse photon density waves by spherical inhomogeneities within turbid media: analytic solution and applications. *Proceedings of the National Academy of Sciences* 1994; 91(11): 4887-91.
11. Ripoll J, Ntziachristos V, Carminati R, Nieto-Vesperinas M. Kirchhoff approximation for diffusive waves. *Physical Review E* 2001; 64(5): 051917.
12. Dutta J, Ahn S, Li C, Chaudhari AJ, Cherry SR, Leahy RM. In Computationally efficient perturbative forward modeling for 3D multispectral bioluminescence and fluorescence tomography, Proc. SPIE, 2008; 69130.
13. Ntziachristos V, Weissleder R. Experimental three-dimensional fluorescence reconstruction of diffuse media by use of a normalized Born approximation. *Optics letters* 2001; 26(12): 893-5.
14. Najafzadeh E, Hejazi M, Reza HM, Rudin M, Stuker F, Shirkavand A. In Development of an algorithm for reducing scatter distribution in fluorescence reflectance images using Wiener filter in Wavelet domain, World Congress on Medical Physics and Biomedical Engineering, September 7-12, 2009, Munich, Germany, Springer: 2010; 1869-72.
15. Marjaneh H, Florian S, Divya V, Markus R. Improving the accuracy of a solid spherical source radius and depth estimation using the diffusion equation in fluorescence reflectance mode. *BioMedical Engineering OnLine* 9.
16. Born M, Wolf E. Principles of optics: electromagnetic theory of propagation, interference and diffraction of light. Cambridge university press: 1999.
17. Markel VA, Schotland JC. Inverse problem in optical diffusion tomography. I Fourier-Laplace inversion formulas. *JOSA A* 2001; 18(6): 1336-47.
18. Ripoll J, Nieto-Vesperinas M. Index mismatch for diffuse photon density waves at both flat and rough diffuse-diffuse interfaces. *JOSA A* 1999; 16(8): 1947-57.
19. Nieto-Vesperinas M. Scattering and diffraction in physical optics. Wiley New York: 1991.
20. Ripoll J, Ntziachristos V. Iterative boundary method for diffuse optical tomography. *JOSA A* 2003; 20(6): 1103-10.
21. Macaskill C, Kachoyan BJ. Iterative approach for the numerical simulation of scattering from one-and two-dimensional rough surfaces. *Applied optics* 1993; 32(15): 2839-47.
22. Stuker F, Ripoll J, Rudin M. Fluorescence Molecular Tomography: Principles and Potential for Pharmaceutical Research. *Pharmaceutics* 2011; 3(2): 229-74.
23. Soubret A, Ntziachristos V. Fluorescence molecular tomography in the presence of background fluorescence. *Physics in medicine and biology* 2006; 51(16): 3983.